

الگوها و منابع داخلی ریزگردهای تهران

رامین رحیمی^۱، منیژه قهرودی تالی^{*۱}، سید حسن صدوق^۱

۱- گروه جغرافیا طبیعی، دانشکده علوم زمین دانشگاه شهید بهشتی، تهران، ایران

(پژوهشی)

پذیرش مقاله: ۱۴۰۰/۳/۱۹ تأیید نهایی مقاله: ۱۴۰۰/۱۰/۱۱

چکیده

این پژوهش با هدف شناسایی الگوهای اصلی ورود ریزگرد به تهران و تعیین منشاء‌های داخلی تغذیه ریزگردهای وارد شده تهران است. داده‌های مورد استفاده شامل داده‌های هواشناسی بازه ۱۳۸۴-۹۷، داده‌های مربوط کیفیت هوای تهران در همان بازه زمانی، تصاویر مربوط به سنجنده TM لندست ۵ و OLI لندست ۸ طی سال‌های ۱۹۸۵ الی ۲۰۱۷، داده‌های سطح یک MODIS در تمامی ایام وقوع ریزگرد، نتایج آزمایش XRF مربوط به تله‌های رسوبگیر نصب شده در مناطق تهران به عنوان مقصد و برداشت نمونه از مناطق مبدأ بوده است. روش انجام پژوهش مدل جریانی HYSPPLIT به روش پسگرد، برای ردیابی ذرات در ارتفاع ۵۰۰، ۱۰۰۰ و ۱۵۰۰ متری از سطح زمین و در حدفاصل زمانی ۳ روز قبل از وقوع طوفان گرد و غباری بوده است. همچنین از تصاویر سطح اول MODIS با شاخص BTD به آشکارسازی این پدیده در تمامی روزهای وقوع ریزگرد پرداخته شده است. نمونه‌گیری از منطقه مقصد که شهر تهران است و مناطق مبدأ در مسیر جریان ریزگردها شامل معادن شن و ماسه تهران شهریار (تراس‌های آبرفتی رودخانه کرج)، تالاب‌های قنبر آباد و بند علیخان، پلایاهای حوض سلطان و میقان و مناطقی از دشت قزوین بوده است. یافته‌های حاصله از الگوهای اصلی ورود ریزگرد به تهران، ۵ الگوی اصلی را نشان داد که عمده‌تا از خارج از کشور و در فصول مختلف وارد ایران می‌شوند و هنگام عبور از برخی سطوح پست از قبیل دریاچه‌ها و پلایاهای و برخی چاله‌های داخلی مجدداً تغذیه می‌شوند.

واژه‌های کلیدی: تله‌های رسوبگیر، تهران، ریزگرد، منابع ریزگرد، HYSPPLIT

بالای تروپوسفری برخورد نماید، یک جریان چرخشی سرد متمایل به سمت پایین ایجاد نموده که این بادها با شدت بالا در برخورد با سطح زمین باعث ایجاد طوفان‌های گرد و غباری می‌شوند (xuan et al, 2004). زمانی که غلظت گرد و غبار به اندازه‌ای باشد که دید افقی به کمتر از یک کیلومتر کاهش یابد، در اصطلاح طوفان ریزگرد Goudie and Middleton, (2005) ایجاد شده است (آلاینده‌ها وقتی وارد اتمسفر می‌شوند، قادر به انتقال به اکوسیستم‌های وسیع در فواصل دورتر از منبع اصلی می‌باشند. اثرهای پدیده‌های گرد و غبار می‌تواند تا فاصله ۴۰۰۰ کیلومتری و گاهی اوقات تا ۶۰۰۰ کیلومتری به صورت افقی و ارتفاع ۶۰۰۰ متری سطح زمین از خاستگاه اصلی تداوم داشته و باعث بروز اثرات نامطلوب زیستی و خسارت‌های فراوان در زمینه کشاورزی، صنعتی، حمل و نقل، سیستم‌های مخابراتی، تغییر اقلیم و از همه مهم‌تر سلامت انسان‌ها شوند (رئیس پور، ۱۳۸۷). به گزارش مرکز ملی هواشناسی و تغییر اقلیم سازمان حفاظت محیط زیست کشور در طول سال‌های اخیر به طور متوسط در هر سال ایران شاهد ۱۰۰ تا ۱۲۰ روز هوای غبارآلود بوده است. حداقل میزان غلظت ذرات گرد و غبار و مواد آلاینده در هوای سال‌های اخیر به طور نگران کننده‌ای افزایش یافته است. به طوری که در بعضی موارد در خوزستان غلظت ذرات معلق جوی تا ۹۳۶۰ میکروگرم بر مترمکعب یعنی حدود ۳۶ برابر حد استاندارد می‌رسد (ندافی و همکاران، ۱۳۸۹).

هرجا رسوبات ریزدانه منفصل بر سر راه بادهای نسبتاً قوی قرار گیرد مخاطره ریزگرد ممکن است کیلومترها دورتر را تحت تاثیر قرار دهد. طبق گزارشات شرکت کنترل کیفیت هوای تهران براساس آمار ۲۱ ایستگاه در سطح شهر تهران ۱۱۱ روز به لحاظ ذرات کوچکتر از ۲/۵ میکرون و ۱۱

مقدمه

ریزگردها از مشکلات جدی زیست محیطی در مناطق مختلف جهان محسوب می‌شود. این در حالی است که بیشترین گرد و غبار موجود در جو با خاستگاه ذرات ریز دانه رخ می‌دهد و این ذرات ریز در مناطق خشک و نیمه خشک جهان از فراوانی بالاتری برخوردارند. این معضل یکی از مهم‌ترین بحران‌های محیطی کلان شهرهای ایران است که طی چهار دوره اخیر زندگی این شهرها را پرهزینه و حتی خطرناک ساخته است. در سال‌های اخیر در کلان شهر تهران، به عنوان اولین کانون جمعیتی کشور و همچنین قرار گرفتن در مجاورت زمین‌های خشک و بایر به علت تداوم خشکسالی‌ها، کاهش بارندگی و افزایش دما این پدیده تشديد شده است. بنابراین آگاهی از وضعیت موجود این مخاطره برای کنترل آن در تهران جزء ضرورت‌های مطالعاتی است. شناسایی چشمۀ آلدگی اولین گام در فرایند تعیین استراتژی موثر برای کنترل آلدگی می‌باشد. ذرات ریز گرد و غبار می‌تواند آلاینده‌ها خصوصاً ترکیبات شیمیایی یا موبلوژی و کانی‌شناسی خاص را حمل کنند. برخی از این آلاینده‌های فلزی محلول آفت‌کش‌ها و غیره زمانی که از روی مناطق شهری و پرجمعیت عبور می‌کنند بر روی سلامتی انسانها اثر منفی می‌گذارد (Rashki et al, 2011). برای تعیین منشاء فرآیندهای ترکیبی و مسیر حمل گرد و غبار شناسایی خصوصیات فیزیکی و شیمیایی گرد و غبار اولویت دارد. همچنین شناسایی ترکیب شیمیایی گرد و غبار برای درک اثرات احتمالی یر روی سلامتی خاک بارندگی بیوژئوشیمی اقیانوس‌ها و پدیده هوازدگی مهم است (Goudie and Middleton, 2006). به علت فقدان پوشش گیاهی در مناطق مستعد گرد و غبار، هوای سطح زمین این مناطق گرم شده، به سمت بالا حرکت می‌کند و زمانی که به بادهای با سرعت

بین قطر ذرات کمتر از ۱۰ میکرون و ضخامت نوری ذرات با استفاده از تصاویر مودیس این نتیجه حاصل شد که بین این دو مقدار همبستگی معنادار در دو ماهواره آکوا و ترا در خلیج فارس وجود دارد و داده‌های عمق اپتیکی حاصل از تصاویر ماهواره مودیس می‌توانند اطلاعات دقیقی از میزان ریزگردها فراهم کنند (سلیمانی و همکاران، ۱۳۹۴). همچنین تحلیل سینوپتیکی گرد و غبار خراسان رضوی نشان داد عمدۀ طوفان‌ها در تمام طول سال از ساعت ۱۲ ظهر به بعد شکل می‌گیرد که عوامل محلی بیشتر در تشدید طوفان‌ها و عوامل ترمودینامیکی بیشتر در شکل‌گیری و گسترش طوفان‌ها موثر هستند (لشکری و کیخسروی، ۱۳۸۷). بررسی طوفان گرد و غبار ۱۴ تیر ۸۸ در بندر عباس با مدل عددی WRF بیان داشت که بادهای که از نواحی خشک شمال سوریه و عراق وارد ایران شدند مسئول رخداد این پدیده هستند (محمد پور پنجاه و همکاران، ۱۳۹۵). در خصوص ارتباط لندفرم‌ها و ریزگردها در پژوهش‌ها مواردی به دست آمده است از جمله، نقش لندفرم‌هایی چون مخروط افکنه‌های خشک شده و تپه‌های ماسه‌ای با استفاده از داده‌های آب و هواشناسی، تصاویر لندست ۸ و مودیس به عنوان کانون گرد و غبارهای غرب آسیا از سال ۲۰۰۰ تا ۲۰۱۳ بررسی شده است (Cao et al., 2000, 2015). طوفان‌های ماسه‌ای در نواحی بیابانی لندفرم‌هایی از قبیل تپه‌های ماسه‌ای که با خاک مخلوط نشده باشد را به وجود می‌آید که معمولاً این سطوح مملو از ماسه‌ای سست و آزاد هستند (Goudie, 1983). نقش لندفرم‌ها در تشدید ریزگردها با استفاده از پیش‌بینی عددی وضع هوا و بهره‌گیری از مدل Chem-WRF در منطقه سیستان به خصوص بستر خشک تالاب هامون نشان داد که این منطقه چشمۀ اصلی طوفان گرد و غبار بوده است (کارگر و همکاران، ۱۳۹۵). بررسی

روز از منظر آلاینده کوچکتر از ۱۰ میکرون در وضعیت نامطلوب قرار داشته است (گزارش کنترل کیفیت هوای تهران، ۱۳۹۵). از طرف دیگر به ازای افزایش ۱۰ میکروگرم بر متر مکعب باعث افزایش مرگ و میر ۱ تا ۳ درصدی می‌شود. (ندافی و همکاران، ۱۳۸۹). ردیابی طوفان‌های گرد و غبار با استفاده از تکنیک‌های سنجش از دور و شاخص NDDI، برای تشخیص و ردیابی منشا گرد و غبار و شناسایی الگوی ریزگردها استفاده شده است-Al-Shanasi et al., 2010; Sarraf, 2010؛ قهروندی، ۱۳۹۱). مناطق برداشت طوفان‌های گرد و غبار و ویژگی‌های انتشار آن‌ها در طوفان‌های منطقه سیستان با استفاده از پردازش تصاویر ماهواره‌ای نشان داد که قسمت اعظم منشاء طوفان‌های سیستان بر روی دریاچه هامون سابوری قرار دارد و تصاویر ماهواره‌ای برای تعیین مرکز طوفان‌ها و ردیابی آنها مناسب است. آنها گزارش کرددند (ایرانمنش و همکاران، ۱۳۸۴). از تصاویر مودیس (Level IB) و الگوریتم BTD و همچنین داده‌های لندست ۸ برای شناسایی نقاط داغ گرد و غبار در طول سال ۲۰۰۰ تا ۲۰۱۳ استفاده شد که در آن لندفرم‌هایی مثل بستر دریاچه‌ها و رودخانه‌های خشک شده، اراضی و معادن، زمین‌های کشاورزی، اراضی شنی به عنوان نقاط داغ شناسایی شدند (zhang et al, 2015). استفاده از روش‌های آماری ناپارامتری روند وقوع پدیده گرد و غبار را در غرب کشور نشان داد که غرب ایران از لحاظ وقوع ریزگرد ناهمگن است و تعداد روزهای گرد و غبار از شمال به جنوب افزایش پیدا می‌کند همچنین تغییرات زمانی و مکانی پارامترهای اقلیمی و پوشش گیاهی و ارتباط آن‌ها با پدید آمدن طوفان‌های گرد و غبار، بیشترین فراوانی ریزگردها با کمترین پوشش گیاهی، حداقل بارندگی و بیشترین دما و سرعت باد همراه است (رسولی و همکاران، ۱۳۸۹؛ بهرامی و همکاران، ۱۳۹۲). بررسی رابطه

(Boloorani et al, 2014). بررسی رخداد پدیده گرد و غبار مربوط به ۱۸ ژوئن ۲۰۱۲ در نواحی غرب و جنوب غرب کشور، با استفاده از باندهای مرئی و باندهای حرارتی سنجنده مادیس و شاخص آکرمون، بیانگر این بود که محل اتصال رودخانه‌های دجله و فرات در محدوده شمال و شمال شرق عراق و غرب سوریه منشاء ریزگردها بوده است (بیات و همکاران، ۱۳۹۵). هدف این پژوهش شناسایی الگوهای اصلی ورود ریزگرد به تهران و تعیین منابع داخلی تغذیه ریزگردهای وارد شده تهران است و در این راستا تعدادی از لندفرم‌های رسوبی و حوضه‌های انتهایی، به عنوان منابع تامین کننده داخلی ریزگردها از جمله چاله میقان، اراضی شور اطراف دریاچه حوض سلطان، دریاچه قنبر آباد، تالاب بند علیخان، مسیر نواحی خشک و بیابان‌های اطراف قزوین و معادن شن و ماسه انتخاب شده است (شکل ۱).

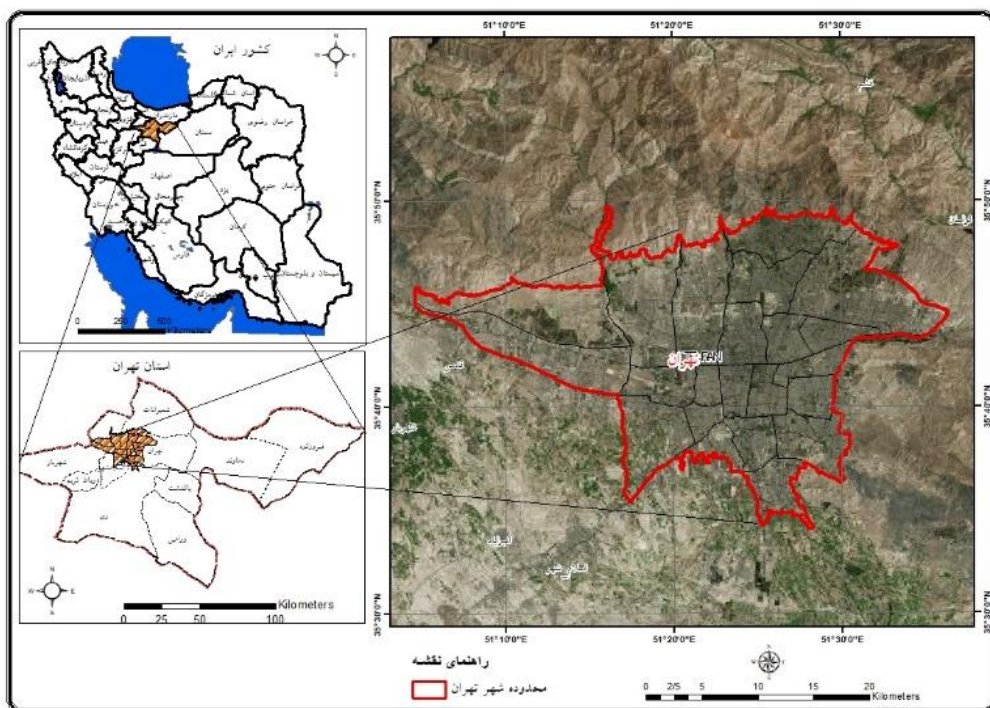
منطقه مورد مطالعه

کلانشهر شهر تهران با مساحتی حدود ۷۳۰۰۰ هکتار در موقعیت جغرافیایی "۳۶° ۴' ۵۱" تا "۳۵° ۴۹' ۴۹" طول شرقی و "۳۴° ۵' ۳۵" تا "۳۶° ۱۹' عرض شمالی واقع شده است. ارتفاع متوسط شهر تهران از سطح دریا حدود ۱۳۰۰ متر می‌باشد این شهر از سمت شمال به دامنه جنوبی البرز، از شرق به لواسانات، از غرب به کرج و از جنوب به ورامین محدود می‌شود. شیب ملایم از شمال به جنوب از ویژگی‌های مورفولوژی این گستره محسوب می‌گردد. مطابق آخرین سرشماری عمومی نفوس و مسکن در سال ۱۳۹۵ جمعیت تهران حدوداً ۸ میلیون ۶۰۰ هزار نفر برآورد شده است (مرکز آمار ایران، ۱۳۹۵). وجود رشته کوه‌های البرز در شمال و دشت‌های کویر در جنوب و جنوب شرق، شرایط اقلیمی پیچیده‌های را برای گستره شهر تهران

طوفان‌های آسیای مرکزی را از لحاظ زمانی و مکانی در ۷ دهه نشان داد که منابع اصلی تولید ریزگرد عمدها در مناطقی با اشکال و سطوح حساس بیابانی قراردارد (Indoitu, 2012). در زمینه اثرات خشک شدن دریاچه‌ها در تشدید گرد و غبار، در حوضه هامون نشان داد که خشک شدن دریاچه هامون در سال‌های خاص سبب افزایش تعداد و شدت طوفان‌های گرد و غباری در منطقه شده است (Rashki et al, 2013). در خصوص بررسی منشاء طوفان‌های گرد و غباری در جنوب غرب ایران با استفاده از مدل لاگرانژی HYSPLIT و روش ردبایی پسگرد مشخص شده است که محدودهای در حد فاصل مرکز تا شمال عراق، شرق سوریه تا شمال عربستان است (مفیدی و جعفری، ۱۳۹۰). لیکن استفاده از تحلیل سینوپتیکی و تصاویر AVHRR از ماهواره نوا نشان داد که ابتدا در یک موج یک کم فشار قوی با قدرت مکش بسیار بالا، هوای گرد و غباری بیابان‌های اطراف منطقه مورد بررسی مکش می‌نماید (ناصر پور و دیگران، ۱۳۹۴). در خصوص منشاء ریزگردها طوفان‌های گرد و غبار وارد شده به ایران براساس اطلاعات سنجش از دور و تحلیل سینوپتیکی ۴ منطقه مشخص شده است که منبع شماره ۱ نواحی بین ساحل شرقی فرات و ساحل غربی دجله، منبع شماره ۲ نواحی بیابانی غرب و جنوب غرب عراق، منبع شماره ۳ محدوده بیابان‌های جنوب شرق و شرق عربستان سعودی (بیابان ربع الخالی) و منبع شماره ۴ قسمت‌های جنوب شرقی عراق تعیین شده است (بهرامی و همکاران، ۱۳۹۲). همچنین مطالعات سینوپتیک نشان داد که منشا طوفان‌های گرد و غبار منبع ۱ بخاطر گرادیان شدید فشار بین سیستم کم فشار زاگرس و سلوی پرفشار دریای مدیترانه است و منشا گرد و غبار منبع شماره ۲ و ۳ در نتیجه گردش غالب اتمسفری در دوره‌های سرد سال در عرض‌های میانه می‌باشد

بسیار معمول است. از طرفی با توجه به ویژگی‌های توپوگرافی و نیز خصوصیات ترمودینامیکی جو، پدیده اینورژن بر روی تهران در همه فصول بادوام است. ساخت توپوگرافیکی شهر تهران نیز نقش انکارناپذیری در تشديد آلودگی و اینورژنهای شهر تهران دارد. وجود ارتفاعاتی که به صورت نعل اسبی شهر تهران را در بر گرفته است سبب می‌شود بادهای محلی نتواند هوای آلوده را از شهر خارج کنند. بنابراین بیشتر هوای آلوده با وزش بادهای تند شمالی و جنوبی در شهر جا به جا می‌شود (سلیقه، ۱۳۹۴).

ایجاد کرده است. آب و هوای این شهر در نواحی جنوبی گرم و خشک است، اما در مجاورت کوهستان دارای اقلیمی سرد و نیمه مرطوب و در نواحی مرتفع تر اقلیمی سرد همراه با زمستان‌های طولانی می‌باشد. خاصیت پالایشی بادهای غربی و جنوب شرق را کاهش می‌دهد و بنابراین در بیشتر مواقع هوای ساکن و بی‌تحرک می‌شود. در نتیجه، این وضعیت منجر به پدیده خطرناک وارونگی هوایی-گردد. در زمستان به جز روزهای اندکی از فصل، در سایر روزها هوای صاف و آفتابی است. همچنین به دلیل تشعشع شبانه و وجود برف بر روی ارتفاعات شمالی وقوع اینورژنهای تشعشعی و جابه‌جایی



شکل ۱: محدوده مورد مطالعه

تصاویر مربوط به سنجنده TM لندست ۵ و OLI لندست ۸ طی سال‌های ۱۹۸۵ الی ۲۰۱۷ از سازمان زمین‌شناسی آمریکا، داده‌های سطح یک MODIS در تمامی ایام وقوع ریزگرد، نتایج آزمایش XRF مربوط به تله‌های رسوبگیر نصب شده در مناطق تهران به عنوان مقصد و برداشت نمونه از

مواد و روش‌ها

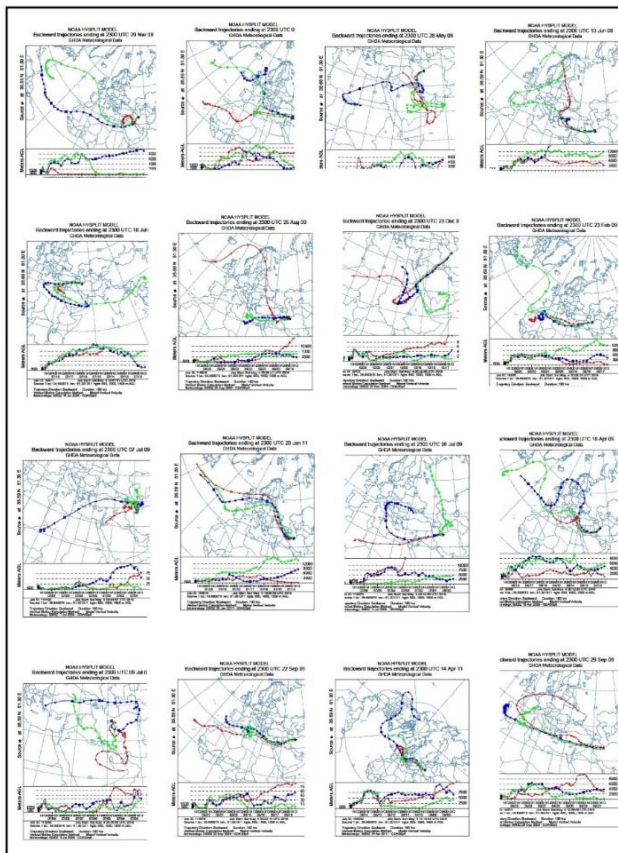
مواد مورد استفاده در این پژوهش شامل داده‌های ایستگاه‌های سینوبتیک سازمان هواشناسی کشور طی سال‌های ۱۳۸۴-۹۷، داده‌های مربوط به آلودگی شرکت کنترل کیفیت هوای تهران برای کنترل روزهای وقوع ریزگرد در همان بازه زمانی،

اصلی مسیرها و پخش آلودگی‌ها است (Draxler and Hess, 1997). در مدل رهگیری بسته‌های هوای عنوان بسته‌های حامل ذرات گرد و غبار) در منطقه درگیر با این پدیده، از زمان ثبت گرد و غبار در ایستگاه‌های هواشناسی با حرکت زمانی عقب گرد به وسیله مدل (HYSPPLIT) به انجام می‌رسد. اگر بسته‌های هوای رسیده به منطقه مورد نظر از مناطق مولد توده‌های گرد و غبار که به وسیله تصاویر ماهواره‌ای، یا نقشه‌های سرعت و جهت باد تعیین شده‌اند، عبور نمایند، مسیر آنها را به عنوان محل عبور توده‌های گرد و غبار شناسایی می‌شود. برای تمامی روزهایی که پدیده ریزگرد در شهر تهران اتفاق افتاده بود مدل فوق اجرا گردیده است و جریان‌ها هوای سطح ارتفاعی رهگیری شده است. در این پژوهش ذرات در ارتفاع ۵۰۰، ۱۰۰۰ و ۱۵۰۰ متری از سطح زمین و در حدفاصل زمانی ۳ روز قبل از وقوع طوفان گرد و غباری رديابی شده‌اند. برای آشکارسازی گرد و غبارهای بازه زمانی مورد نظر از محصولات سطح اول مودیس مطالعه استفاده گردید ماهواره‌های ترا (Terra) و آکوا (Aqua) در تاریخ‌های ۱۸ دسامبر سال ۱۹۹۹ و ۴ می‌سال ۲۰۰۲ به فضا پرتاب شدند، سنجنده ماهواره ترا و آکوا می‌باشد این سنجنده قادر است ذرات جامد معلق در هوای را از طریق اندازه‌گیری میزان بازتابش تشعشع خورشیدی شناسایی کند این سنجنده هر ۱ الی ۲ روز یک پوشش کامل تصویری از زمین در ۳۶ باند طیفی (باندهای ۱ تا ۷ که جز باندهای انعکاسی هستند و همچنین باندهای ۲۰ تا ۲۳ که جز باندهای تابشی هستند) سنجنده مودیس با طول موجی از $0/4$ تا $14/4$ میکرون تشکیل شده است. این تصاویر قدرت بالایی در شناسایی پدیده‌های اتمسفری، زمینی و دریایی دارند. تصاویر RGB سنجنده مودیس نیز که یکی

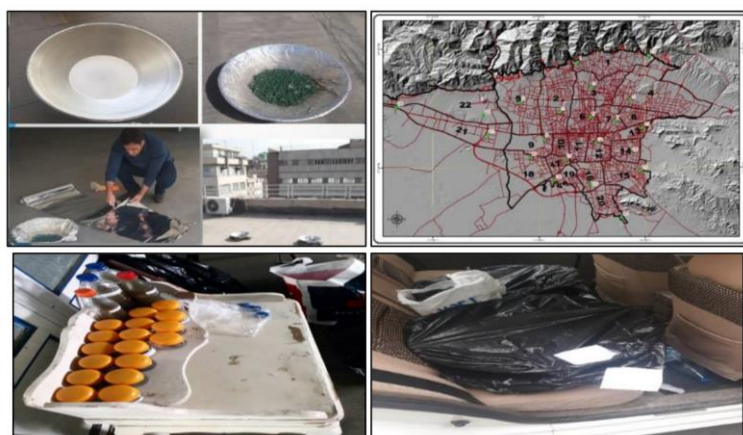
مناطق مبدأ بوده است. برای تعیین مسیر حرکت ذرات گرد و غبار از داده‌های مربوط به مدل HYSPPLIT سایت اداره ملی اقیانوسی و جوی آمریکا NOAA استفاده شده است و به منظور محاسبه مربوط به تغییرات پوشش گیاهی مناطق اطراف در بازه مطالعاتی سامانه گوگل ارث انجین^۱ به کار رفته است. برای شناسایی و تمایز طوفان‌های فراغیر از معیارهای، طوفان‌ها باید حداقل در ۳ ایستگاه با فاصله مناسب از هم ثبت شده باشد، همچنین می‌بایست در ایستگاه مقصد به عنوان غیر محلی ثبت شده باشد، میزان قدرت دید به کمتر از ۱۵۰۰ متر رسیده باشد و به عنوان یک واقعه مستقل ثبت شده باشد، استفاده شده است. مدل مستقل HYSPPLIT از جمله مدل‌های پخش و انتقال آلاینده‌های جوی است که بیشترین کاربرد را در پژوهش‌های بزرگ مقیاس دارد و توسط لابراتوار هوایی سازمان ملی جوی و اقیانوس ایالات متحده آمریکا طراحی شده و توسعه یافته است که با استفاده از آن نه تنها می‌توان منشأ اصلی ایجاد طوفان گرد و غبار را دانست، بلکه می‌توان مسیر طی شده، ارتفاع ذرات معلق و ساعت ورود سامانه گرد و غبار را به مرزهای ایران و ایستگاه‌های شاهد مورد بررسی دقیق قرار داد. برای تمامی وقایع ریزگرد در بازه مطالعاتی این مدل برای ایستگاه سینوبتیک تهران اجرا و بسته‌های هوایی رهگیری شده است (شکل ۲). برای تعیین ورود جریان‌های حاوی ریزگرد مدل جریانی HYSPPLIT به روش پسگرد^۲، ۳ روز قبل از وقوع برای روزهای آماری وقوع پدیده در منطقه مورد مطالعه اجرا گردیده است. این مدل یک سامانه کامل برای محاسبه مسیرهای پیچیده پخش و نشت با استفاده از رویکرد ذره‌ای و پوف است که شامل ساختار کتابخانه‌ای با برنامه‌های اصلی برای کاربردهای

بررسی قرار گرفته است. برای نمونه‌گیری از منطقه مقصد که شهر تهران است، ۲۴ نقطه انتخاب شد. برای مقایسه تطبیقی نمونه‌ها از لحاظ ترکیبات عناصر در شهر تهران برای نمونه‌برداری تله رسوب گیر نصب شده است. این نقاط طوری انتخاب گردیدند که به طور متوسط هر نقطه یک منطقه را پوشش دهد و در برخی از مناطق بزرگ دو نقطه انتخاب گردیده است برای سهولت تهیه و نیز استاندارد بودن نوع تله رسوب‌گیر از کلاس MDCO استفاده شده است. این رسوب‌گیر ابتدا توسط گانور طراحی شده بود (Ganor, 1975). رسوب‌گیر شامل یک ظرف با یک یا دو لایه تیله شیشه‌ای، که روی سطح زمین یا روی میله‌ای به صورت عمودی قرار می‌گیرد. این تله‌ها دارای شکل دایره‌ای به قطر ۳۱/۵ سانتی‌متر و ارتفاع حداقل ۱۰ سانتی-متر، تیله‌های شیشه‌ای به قطر ۱/۶ سانتی‌متر (بعد استاندارد) وجود دارد. به دلیل برخی ملاحظات از قبیل صعوبت در دستیابی به ظرف پایه، مشکلات مربوط به نصب و جانمایی و عدم جمع‌آوری غبارریزشی در تله به اندازه آستانه پذیرش آزمایشگاه (۲ گرم)، در طراحی و ساخت آن تغییراتی داده شده است (شکل ۳). از لحاظ زمانی نیز به جهت وقوع اکثر ریزگردهای شهر تهران در فصول بهار و تابستان، مدت استقرار تله‌ها بر روی ساختمان‌های مربوطه در طول بهار و تابستان ۱۳۹۷ بوده است. نمونه‌برداری‌های انجام شده بعد از خشک کردن و جدا کردن مواد ارگانیک برای آزمایش XRF به منظور تعیین عناصر اصلی ارسال گردید.

دیگر از تولیدات مودیس است و قادر هستند میزان ذرات گرد و غبار را با استفاده از تن رنگ‌های مختلف نشان دهند. داده‌های هواویز روزانه مودیس، شامل اطلاعات مفید درخصوص گرد و غبار و ذرات معلق هوا است که برای مطالعه هواویزها، منابع و محل فرونشست آنها، انواع هواویزها (مانند سولفات‌ها و هواویزهای حاصل از سوخت توده زنده) و برهم کنش هواویزها و تصحیحات جوی و غیره، به کار می‌روند (Savtchenko et al, 2004). به منظور بررسی آشکارسازی گرد و غبارهای طوفان‌های بررسی شده با استفاده از شاخص دمای روشنایی، (اختلاف درجه حرارت باند ۲۰ و ۳۱) به آشکارسازی گرد و غبار پرداخته شده است. تصاویر سطح MOD021KM-L1B1 سنجنده مودیس برای کلیه وقایع ریزگرد و روز قبل از وقوع دریافت گردید^۳. تصاویر اخیر دارای سیستم تصویر Sinusidal Modis Project بودند که اصلاح هندسی و تغییر سیستم تصویر انجام شده است. روش دمای روشنایی بر روی داده مودیس در تمامی روزهای وقوع ریزگرد، برای گرد و غبارهای ورودی به شهر تهران طی دوره آماری ۲۰۱۵-۲۰۰۵ بررسی و در ۵ الگو طبقه‌بندی شدند. به منظور کنترل نتایج به دلیل کوچک بودن محدوده‌های منتخب و اندازه بزرگ سلول‌های داده‌های عمق ضخامت نوری^۴ از ترکیب باندهای ۱۴۳ استفاده گردید. ابعاد سلول‌های عمق ضخامت نوری معمولاً ۱۰ کیلومتر می-باشد که پوشش هر پیکسل حدوداً به ۱۰۰۰۰ هکتار می‌رسد. با استفاده از نتایج مدل‌ها در برخی مناطق که به صورت معنی‌داری هسته‌های ریزگرد وجود داشت، این محدوده‌ها صورت مستقل مورد



شکل ۲: نمایش خروجی مدل BTA برای روزهای وقوع ریزگرد



شکل ۳: تله‌های MDCO ساخته شده و نصب شده بر روی مناطق ۲۲ گانه تهران

شده است در این روش، پرتو ایکس به نمونه مجھول تابیده و در اثر برانگیختن اتم‌ها باعث پدید آمدن پرتو ایکس ثانویه می‌شود که با سنجش آن عناصر شناسایی می‌شود. در این روش تمامی نمونه‌ها با

به منظور تعیین خصوصیات شیمیایی گرد و غبار از جمله عناصر اصلی و کمیاب و همچنین تشخیص^۵ عناصر نمونه‌های جمع‌آوری شده از مناطق مبدأ از روش فولوئورسنس اشعه ایکس (XRF) استفاده

بیشتر در تیر ماه به وقوع می‌پیوندد همان‌طور که در شکل ۴ مشاهده می‌گردد، شروع جریان شمال شرق سوریه می‌باشد که به تدریج با پیشروی در کشور عراق تقویت شده و با عبور از بیابان‌های داخلی موجب بیشتر شدن بار رسوی این جریانات می‌گردد. در الگوی اخیر هسته اولیه توده گرد و غبار در شروع این الگو شکل گرفته، اما با ورود به جنوب شرق عراق تقویت شده و باعث افزایش گستره جغرافیایی و غلظت توده گرد و غبار بر روی تصاویر ماهواره‌ای شده است. این الگو در محدوده جنوب شرق عراق تشدید و تقویت شده است. همان‌طور که در شکل شماره ۴ سمت راست مشهود است عبور جریان ریزگرد فوق از ارتفاعات زاگرس باعث انحراف مسیر شرقی غربی طوفان ریزگرد شده و سبب شده که از نواحی دارای ارتفاع کمتر زاگرس عبور نماید و در ادامه قبل از ورود به شهر تهران از تمامی لندرفمهای مورد مطالعه شده عبور نماید (به‌طور مشخص بیابان‌های اطراف قزوین و معادن شن و ماسه) و با عبور از این سطوح بار رسوی این جریان‌ها اندکی تقویت یافته و سپس از سمت غرب و جنوب غرب وارد شهر تهران شود در سمت چپ شکل ۴ هم در ۳ مقطع ارتفاعی تغییرات جریانات فوق رهگیری شده‌اند.

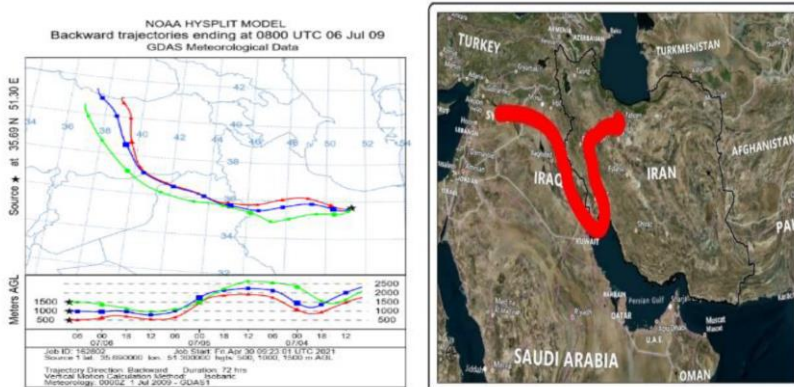
اندازه‌گیری هر طول موج نام عنصر مربوطه مشخص شده و با اندازه‌گیری شدت آن فراوانی آن عنصر در نمونه به دست آمده است. دستگاه pw2404 با detection limit: 20 PPM استفاده قرار گرفته است. از نتایج حاصله از مدل اقلیمی و پردازش تصاویر مودیس، برخی محدوده‌ها که در تامین ریزگردهای تهران نقش داشتند، استخراج گردیده‌اند. این محدوده‌ها به‌طور کلی منطبق بر برخی حوضه‌های انتهایی (پالایا و دریاچه، تالاب) تراس‌های آبرفتی قدیمی و همچنین دشت‌های بیابانی بود.

بحث و نتایج

یافته‌های حاصله از این پژوهش در دو بخش الگوهای اصلی ورود ریزگرد به تهران و منشاء ریزگردهای تهران مورد تحلیل قرار گرفته است.

الگوهای ریزگرد به تهران

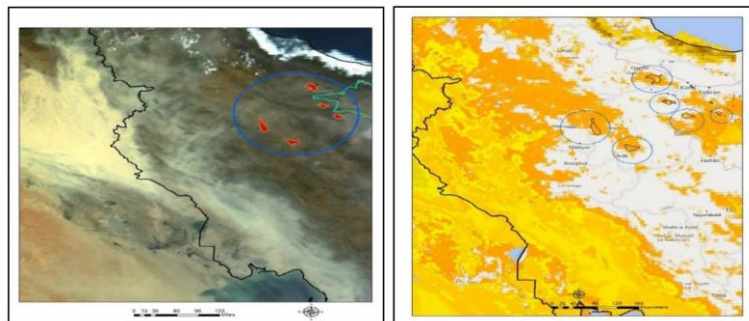
نتایج مستخرج از تصاویر مودیس و کنترل آن با مدل اقلیمی، ۵ الگوی اصلی ورود ریزگرد به تهران را مشخص نموده است. البته لازم به ذکر است که پدیده ریزگردها به صورت منظم و خطی جریان پیدا نمی‌کند بلکه در اطراف محور حرکت، بخش وسیعی را تحت الشاعع خود قرار می‌دهد. الگوی اول



شکل ۴: الگوی اول ورود ریزگرد به تهران

سوریه و سپس عراق بود بعد از عبور از زاگرس با عبور از محدوده‌های پلایا و حوضه‌های انتهایی موجب تقویت مجدد آن گردید. در شکل ۵ اثرات لندفرم‌های تغییر یافته بر روی تقویت هسته‌های گرد و غبار به خوبی مشهود است.

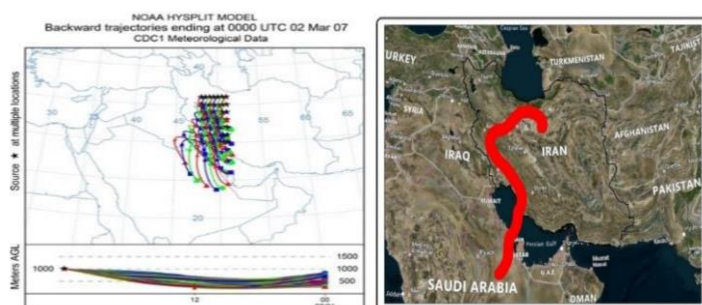
نمونه الگوی اول حوالی ظهر ۱۴ تیر ۱۳۸۸ معادل ۴۰ جولای ۲۰۰۹ اتفاق افتاد و این طوفان دید افقی را به حدود ۸۰۰ متر در شهر رسانید و از لحظه شدت ماندگاری حدوداً ۴ روز بر روی پایتخت اثرگذار بود. منشا این طوفان بیابان‌های شمال شرق



شکل ۵: طوفان ۰۹ جولای ۲۰۰۹

به صورت شمالی جنوبی حوالی نصف‌النهار ۴۷ تا ۵۰ درجه شرقی از خلیج فارس عبور نموده و پس از عبور از زاگرس از سمت جنوب غرب با گذر از لندفرم‌های اشاره شده وارد تهران می‌شوند که تغییرات ایجاد شده در لندفرم‌هایی مانند چاله میقان و اراضی شور اطراف دریاچه حوض سلطان و دریاچه قنبر آباد و تالاب بند علیخان اثر تقویتی بر روی ریزگردهای تهران خواهد داشت. سمت چپ شکل اخیر رهگیری بسته‌های هوای ورودی به شهر تهران از مبدأ را نشان می‌دهد.

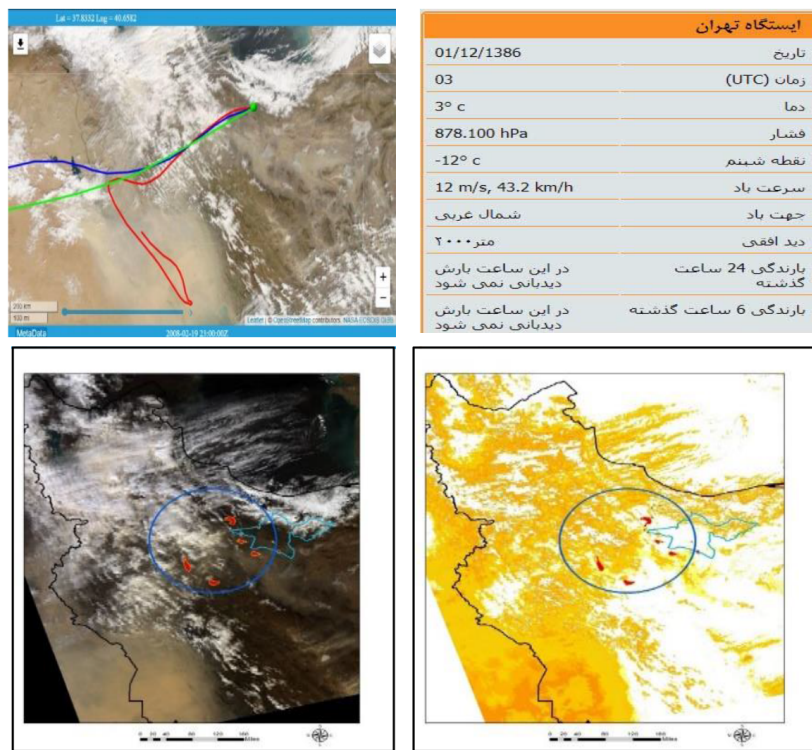
موقعیت زمانی الگوی دوم منطبق بر اوایل زمستان و اوایل بهار است این الگو با عبور از خلیج فارس، ریزگردهای برخاسته از صحاری عربستان خاصه ربع الحالی را به داخل فلات مرکزی ایران حمل می‌کند این الگو چون سد کوهستانی مهمی در مسیر خود ندارد گاهای گستره خود را تا تهران می‌رساند و نمونه بارز آن ریزگرد ناشی این الگو در تاریخ جمعه ۱۱ اسفند ۱۳۸۵ در تهران است. البته شایان ذکر است ممکن است رفتارهای ورود ریزگرد در این الگو از لحظه هندسی انحرافاتی داشته باشد. همان‌طور که در شکل ۶ سمت راست ملاحظه می‌شود، این الگو



شکل ۶: الگوی دوم ورود ریزگرد به تهران

روز به زیر ۲۰۰۰ متر رسیده است. در شکل ۷ نیز الگوی ورود طوفان گرد و غبار به کشور و کلانشهر تهران که در ۲۰ اسفند ۱۳۸۶ به وقوع پیوست نمایش داده شده است این طوفان بعد از عبور از تهران به سمت شمال شرق منحرف شده است که هرچه قدر عرض جغرافیایی آن افزایش می‌یابد از شدت بار رسوبی و شدت آلایندگی آن کاسته می‌شود.

طوفان ۲۰ فوریه ۲۰۰۸ شبیه به الگوی اخیر بوده است. حد فاصل نجف-ناصریه بصره تقویت شده و جریان گرد و غباری را به موزات زاگرس وارد کشور کرده است. این جریان پس از عبور از زاگرس به طور نسبی بر روی پلایاهای و چاله‌های داخلی هسته‌های ریزگرد را تقویت نموده است و به نوعی بی نظمی در این الگو ایجاد کرده است. مطابق داده‌های ایستگاه سینوبتیک تهران میدان دید افقی در این



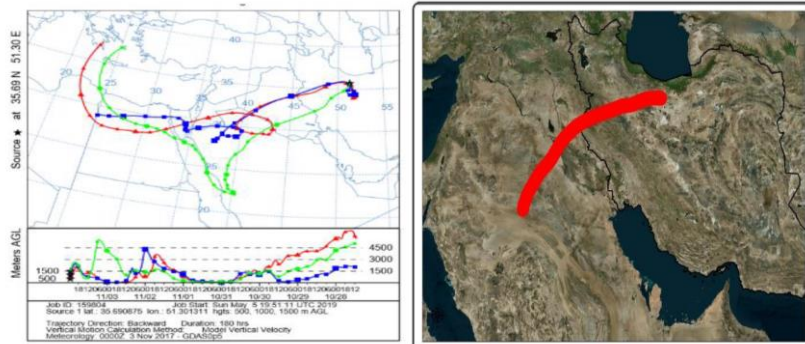
شکل ۷: آشکارسازی پدیده ریزگرد در طوفان ۲۰۰۸ فوریه ۲۰۰۸ و تقویت هسته‌ها به همراه گزارش وضعیت هوا

خواهد داد و در نهایت پس از عبور از زاگرس وارد شهر تهران می‌شود. نمونه تیپیک الگوی چهارم، طوفان ۱۳ آوریل ۲۰۱۱ با ایجاد هسته تراکم بر روی جنوب شرق عراق و تا حدودی داشت روی خوزستان ایران است این گرد غبارها همان‌طور که در قسمت چپ شکل ۸ به رنگ قرمز مشهود است در سطح پایین جریان داشته و پنهان شدن طوفان-های ریزگرد در زیر ابرهای متوسط تا بلند مانند آلتواسترatos بیان کننده حرکت این طوفان‌ها در

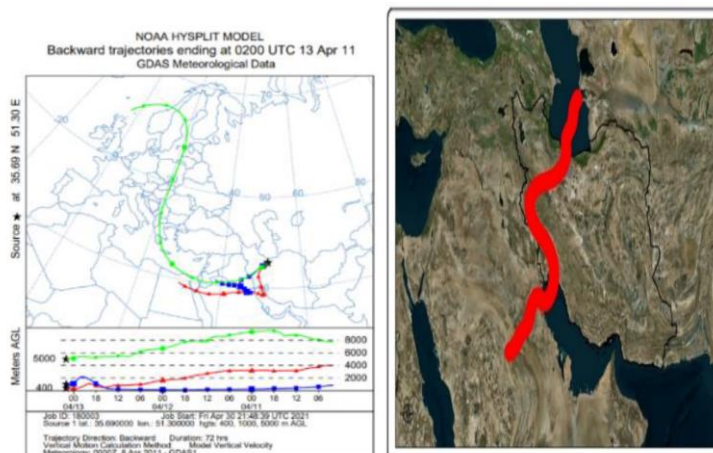
الگو سوم محور آن بیشتر غربی-شرقی است و منطبق با جریان‌های غربی است و رابطه معنی‌دار با فصول و ماههای سال ندارد ولی به طور کلی وقوع آن بیشتر در ماههای گرم سال می‌باشد. منشا آن صحراهای شمال عربستان (شرق جوف و سکاکه) است. همچنین ممکن است هسته‌های تراکم ریزگرد پس از تشکیل در شرق آفریقا و روی عربستان سعودی به عراق و ایران حرکت می‌نماید و در صورت تقویت کویت را هم تحت تاثیر قرار

طوری که این جریان در حوالی عرض جغرافیایی ۳۵ درجه کمی به سمت شرق منحرف شده که در ادامه وارد محدوده مورد مطالعه (کلانشهر تهران) می‌گردد.

نزدیک سطح زمین است (قهرودی، ۱۳۹۱). در شکل ۹ تصویر چپ رهگیری بسته‌های هوای مربوط به این جریان نشان می‌دهد که حضور ارتفاعات زاگرس باعث وجود انحنا در این الگو شده است به



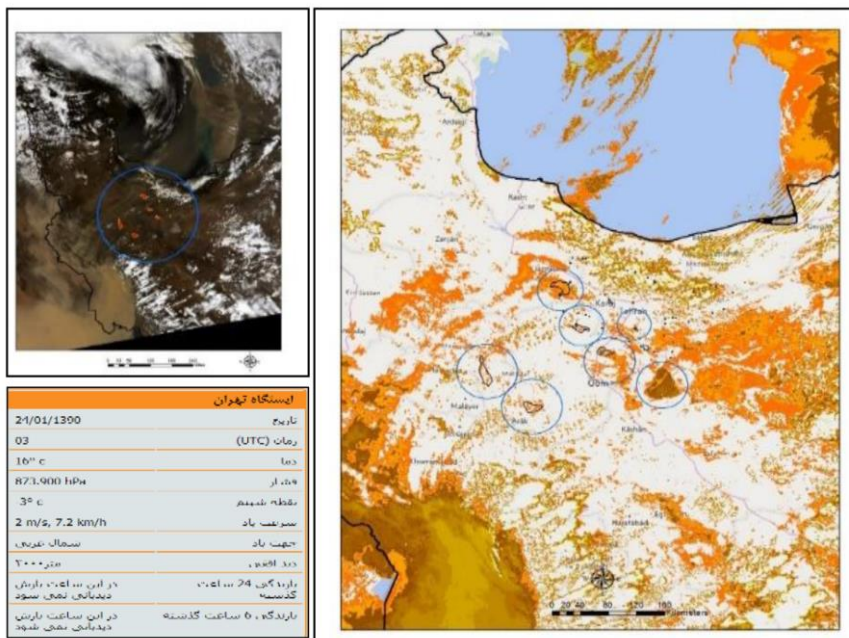
شکل ۸: الگوی سوم ورود ریزگرد به تهران



شکل ۹: الگوی چهارم ورود ریزگرد به تهران

عبور از ارتفاعات زاگرس به شدت از میزان بار رسوبی گرد و غبار طوفان کاسته شده و مجدداً در هنگام عبور از برخی سطوح پست از قبیل دریاچه‌ها و پلایاهای و برخی چاله‌های داخلی تقویت شده است. در تصویر فوق اثرات تقویتی حوضه انتهایی اطراف قزوین و برخی لندفرم‌های دیگر مشهود است.

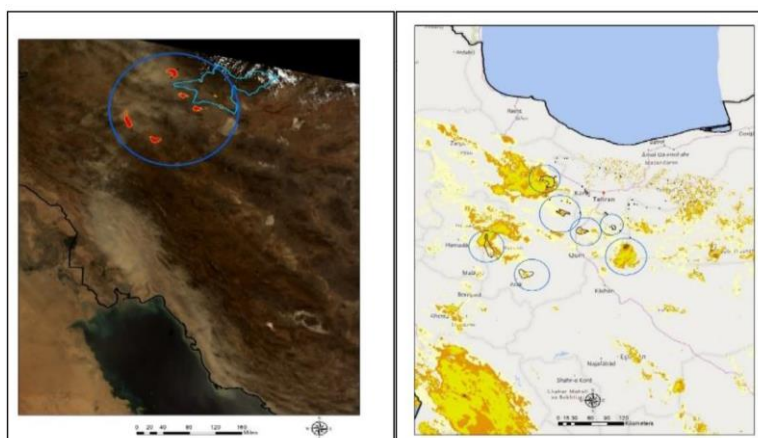
طوفان ریزگرد ۱۳ آوریل ۲۰۱۱ که از الگوهای نزدیک به الگوی چهارم محاسب می‌شود حوالی بین النهرين و حتی قسمت‌هایی از هورالعظیم تقویت شده و پس از عبور از زاگرس در جهت جنوب غربی - شمال شرقی تقریباً کشور را قطع می‌کند و پس از عبور از پلایاهای و چاله‌های داخلی تقویت شده است و همان‌طور که در شکل ۱۰ مشخص است در تاریخ ۲۱ فروردین ۱۳۹۰ بعد از



شکل ۱۰: عبور ریزگرد از سطح پلایا و حوضه های انتهایی

برداشت قسمتی از رسوبات سطحی از سطوح منفصل و ریزدانه می‌شود و پس از ورود به تهران موجبات آلودگی هوا و کاهش دید افقی شده است. الگوهای بی نظم و گاهها با منشا داخلی به صورت ترکیبی و یا بی نظم قابل تفکیک در هیچ یک از الگوهای طبقه‌بندی شده فوق نیستند مانند طوفان گرد و غبار ۲۳ می ۲۰۱۲ که از غرب کشور وارد ایران شد که ترکیبی از سایر الگوها بود (شکل ۱۲).

این نوع طوفان گرد و غبار که از الگوهای نزدیک به تیپ ۴ محسوب می‌شود از نمونه‌های دیگر این الگو طوفان ۲۵ ژوئن ۲۰۱۰ است که حوالی بین النهرين و حتی قسمت‌هایی از هور العظیم تقویت شده و پس از عبور از زاگرس در جهت جنوب غربی - شمال شرقی تقریباً کشور را قطع می‌کند پس از عبور از پلایاها و چاله‌های داخلی موجب تقویت جریان شده و همان‌طور که در شکل ۱۱ مشخص است موجب



شکل ۱۱: طوفان ۲۵ ژوئن ۲۰۱۰

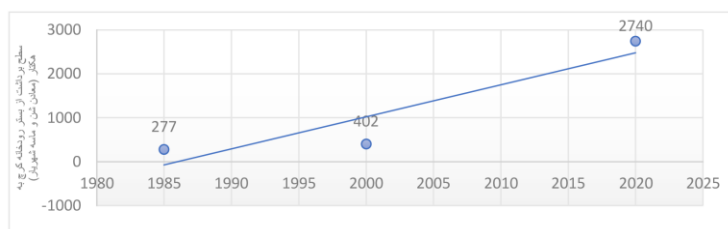


شکل ۱۲: الگوی بی نظم ورود ریزگرد به تهران

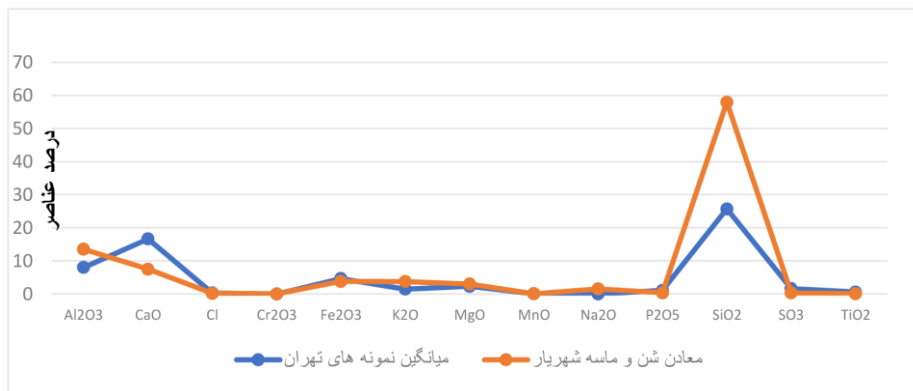
این مورد سخن گفت. وجود تشابه ترکیبات شیمیایی عناصر نمونه برداری شده از سطح معادن و نمونه گیری شده با تله رسوبگیر MDCO موید این قضیه است که احتمالاً درصد زیادی از SiO_2 به دست آمده در ترکیبات شیمیایی ریزگرد شهر تهران برگرفته از معادن شن و ماسه تهران باشد زیرا جریان های ریزگرد آور از روی این معادن عبور می کنند. شکل ۱۳، سطح برداشت از تراس های آبرفتی رودخانه کرج و شکل ۱۴ نمودار ترکیبات نمونه های تهران و شهریار را نمایش می دهد. همان‌طور که از نمودار اخیر بر می آید تشابهات ترکیبات رسوبی در عناصر مختلف وجود دارد و همچنین تفاوت چشگیری در مقدار سیلیسیوم معادن و نمونه های تهران وجود دارد که می تواند ناشی جنس رسوبات تراس های آبرفتی رودخانه کرج باشد و همچنین به احتمال زیاد مقداری از سیلیسیوم نمونه های شهر تهران برخاسته از این منبع است.

منشاء ریزگردهای تهران

برای تعیین منشاء ریزگردهای به بررسی لندفرم‌های رسوبی مسیر الگوهای مختلف ریز گردها پرداخته شده است. نتایج آزمایشگاهی پهنه های رسوبی شناسایی شده در مسیر ریزگردها به تهران به شرح زیر مورد تحلیل قرار گرفته است. بررسی معادن شن و ماسه شهریار (تراس های آبرفتی رودخانه کرج) نشان می دهد حد فاصل سال های ۱۹۸۵ تا ۲۰۲۰ سطح بهره برداری از معادن شن و ماسه تهران حدود ۱۰ برابر شده است. همچنین با توجه به سطح دستکاری محیطی در محدوده ۳۰۰ هکتاری این معادن به نظر می رسد این منطقه از پتانسیل بالایی جهت تقویت ریزگرد تهران برخوردار است. نتایج آزمایشات ژئوشیمی نیز موید شباهات درصد ترکیبات عناصر این محدوده و ریزگردهای جمع آوری شده در تهران است که البته با توجه به اینکه SiO_2 بیشترین درصد را در ترکیبات ریزگرد جهانی دارد نمی توان با قطعیت در



شکل ۱۳: سطح برداشت از تراس های آبرفتی مستخرج از تصاویر لندست

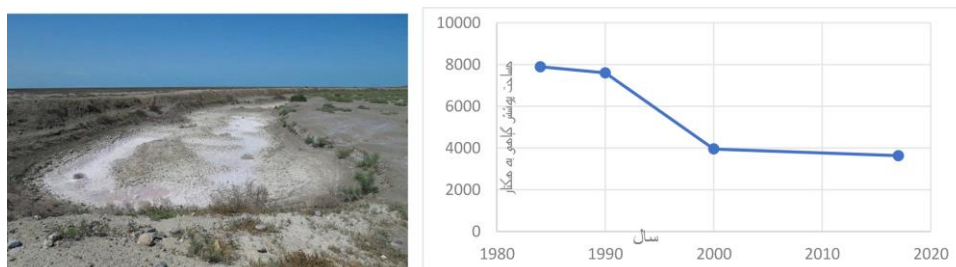


شکل ۱۴: نمودار مقایسه تركیبات نمونه‌های تهران و شهریار

خشکسالی و برداشت بی‌رویه آب برای مصرف کشاورزی و دامداری در مطقه باشد صدور مجوزهای متعدد دامداری در محدوده ورامین موجب برداشت بی‌رویه آب و در نتیجه کاهش حقا به در این محدوده شده است. خشک و عریان شدن اراضی بند علیخان موجب شده است بادهایی که با سرعت بالاتر از آستانه فرسایش حرکت می‌کنند بتوانند به راحتی رسوبات تبخیری و تخریبی سطحی را بلند کنند و به سمت پایتخت حمل کنند. شکل ۱۵ سمت راست تغییرات سطوح پوشش گیاهی براساس شاخص NDVI و سمت چپ تصویری از خشکی این تالاب را نشان می‌دهد.

تالاب بند علیخان که در ۳۵ کیلومتری جنوب شهرستان ورامین واقع شده، یک تالاب فصلی آب شیرین به مساحت تقریبی پنج هزار هکتار (زیستگاه تالابی) است که بخش زیادی از آن در منطقه حفاظت شده کویر قرار دارد و بخشی از آن نیز در استان قم واقع شده، آب مورد نیاز این منطقه پیش از این از رودخانه‌های، کرج و کن و رودخانه جاجروم تأمین می‌شد.

مطابق نتایج بررسی‌ها بر روی تصاویر لندست و بازدید میدانی، تالاب بند علیخان رو به خشکی است و ارزش اکولوژیک و اقتصادی خود را از دست داده است. به نظر می‌رسد عامل خشک شدن تالاب،



شکل ۱۵: تغییرات محیط بند علیخان و تصویری از خشک این تالاب

سولفات‌ها در سطح زمین و همواری زمین از شرایط مناسب تشدید و تداوم توده‌های ریزگرد است. N در تالاب قنبر آباد نیز وضع به همین منوال است با توجه به خشک شدن تدریجی این دریاچه مصنوعی اراضی زیادی جهت تغذیه بادهای عبوری آمده

بررسی مسیر حرکت و مرکز تشدید کننده طوفان‌های ریزگرد نشان انطباق مکانی را با پلایاها و تالاب‌های حوضه‌های انتهایی نشان می‌دهد که وجود مواد منفصل، عدم وجود پوشش گیاهی، خشکی بستر زمین، وجود املاح به ویژه کلورورها و

سیلیس و آلومینیوم و سدیم می‌گردد که این مقدار در نمونه‌های برداشت شده در شهر تهران نیز به وفور یافت می‌گردد.

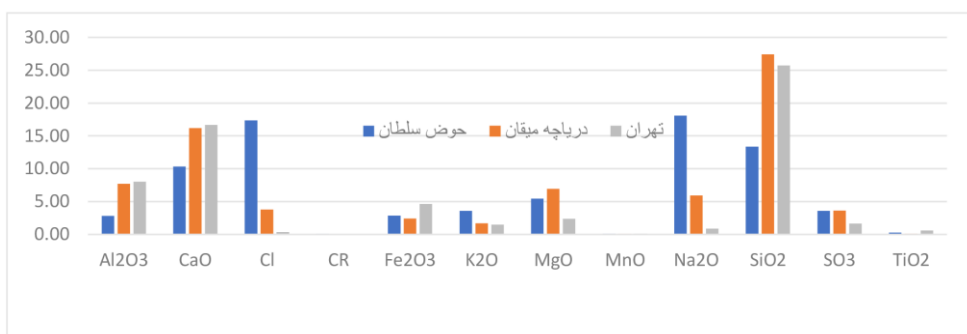
می‌شود. جدول ۱ میزان شباهت ترکیبات این دو تالاب با میانگین نمونه‌های شهر تهران را نشان می‌دهد همان‌طور که جدول اخیر نشان می‌دهد میزان زیادی از ترکیبات اصلی در محدوده تالاب‌ها شامل

جدول ۱: مقایسه ترکیبات تالاب‌های بندعلیخان و قنبر آباد و تهران

نام عنصر	بندعلیخان	قنبر آباد	تهران
Al ₂ O ₃	۸/۰۴	۱۱/۴۲	۱۰/۳۲
CAO	۱۶/۶۶	۱۱/۵۵	۸/۶۱
CL	۰/۳۵	۵/۲۵	۵/۰۲
CR	۰/۰۱	۰/۸۰	۰/۰۰
FE ₂ O ₃	۴/۶۶	۵/۱۴	۳/۴۱
K ₂ O	۱/۴۹	۴/۴۹	۳/۹۵
MGO	۲/۳۶	۴/۶۹	۵/۱۲
NA ₂ O	۱/۱۲	۷/۴۷	۶/۰۴
P ₂ O ₅	۱/۱۰	۱/۸۹	۰/۸۱
SiO ₂	۲۵/۷۲	۲۹/۸۶	۳۷/۱۶
SO ₃	۱/۶۴	۶/۱۴	۳/۹۰
تری‌اکسید گوگرد			

سدیم و کلر و پتاسیم وارد شده به شهر تهران ممکن است حین عبور از اراضی ریزدانه و منفصل اطراف این دو پلایا برداشت شده است. شکل ۱۶ مقایسه میانگین ترکیب نمونه‌های برداشت شده از تهران و پلایاهای میقان و حوض سلطان را نشان می‌دهد.

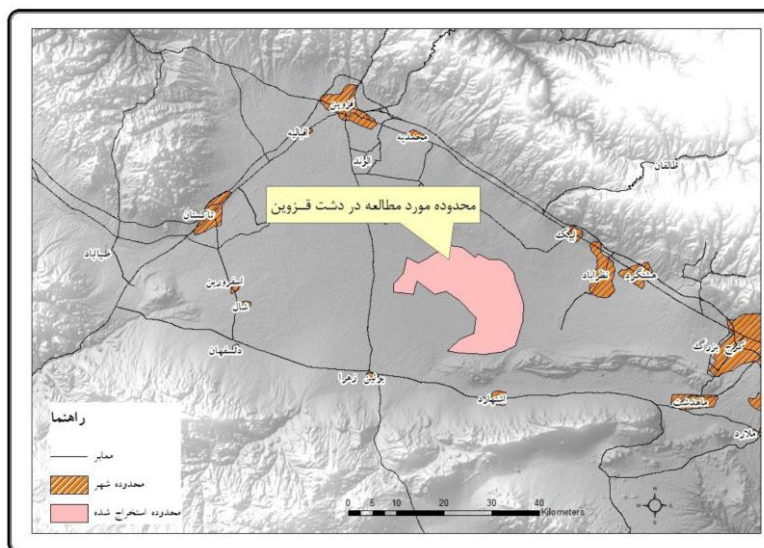
تصاویر مودیس عبور ریزگردها از فراز پلایای حوض سلطان و میقان را آشکار می‌سازد. به عبارت بهتر این سطوح از پتانسیل تشیدی جریان‌های ریزگرد برخوردار است. مقایسه میانگین ترکیبات دو محدوده پلایای حوض سلطان و تهران نشان از وجود ترکیبات پتاسیم و سدیم و همچنین کلر مشابه دارد که احتمالاً برخی از ترکیبات عناصر



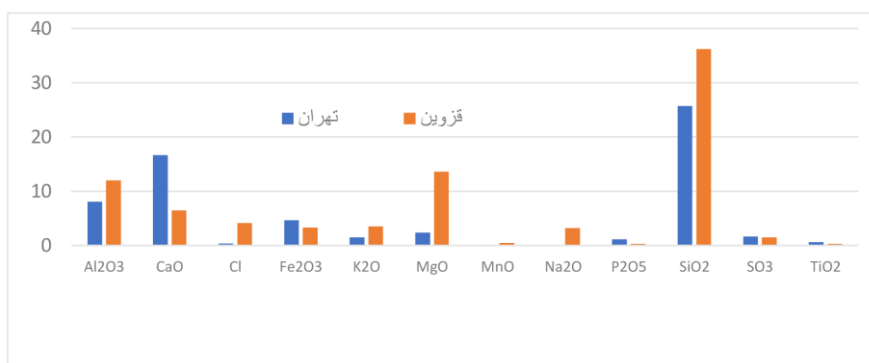
شکل ۱۶: مقایسه میانگین ترکیب نمونه‌های برداشت شده از تهران و پلایاهای میقان و حوض سلطان

مقایسه نتایج XRF نمونه‌های دشت قزوین و تله‌های رسوبگیر در شهر تهران است. همان‌طور شکل اخیر نشان می‌دهد در مناطق دشت قزوین دارای حضور پررنگ اکسید آلومینیم و گوگرد بیش از سایر عناصر است. شکل ۱۹ تغییرات تراکم پوشش گیاهی دشت قزوین با استفاده از شاخص NDVI را آشکار می‌سازد. نمودار اخیر تغییرات سطح سبز پوشش گیاهی محدوده دشت قزوین طی سال‌های ۱۹۸۵ تا ۲۰۱۷ می‌باشد که حاکی از کاهش آن است.

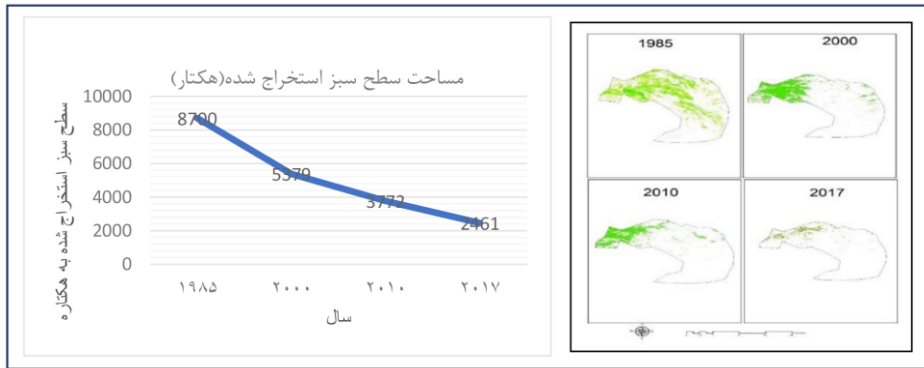
حوضه‌های بیابانی اطراف قزوین به دلیل اینکه در مسیر بادهای غالب ورودی به شهر تهران قرار گرفته است از لحاظ تامین دانه‌های ریزگرد برای بادهای غربی و جنوب غربی ورودی به تهران نقش مهمی دارد به همین جهت حضور زمین‌های عاری از پوشش گیاهی نقش مهمی در ایجاد کانون ریزگرد داخلی برای شهر تهران را ایفا نموده است. از این رو در مقاطع زمانی مختلف پوشش گیاهی محدوده مورد در نظر در دشت قزوین بررسی شده است. شکل ۱۷ موقعیت محدوده مورد بررسی در دشت قزوین را نشان می‌دهد. شکل ۱۸ نمودار مربوط به



شکل ۱۷: موقعیت محدوده مورد بررسی در دشت قزوین



شکل ۱۸: مقایسه نتایج XRF نمونه‌های دشت قزوین و تله‌های رسوبگیر در شهر تهران



شکل ۱۹: تغییرات سطح سبز دشت قزوین با استفاده از شاخص NDVI

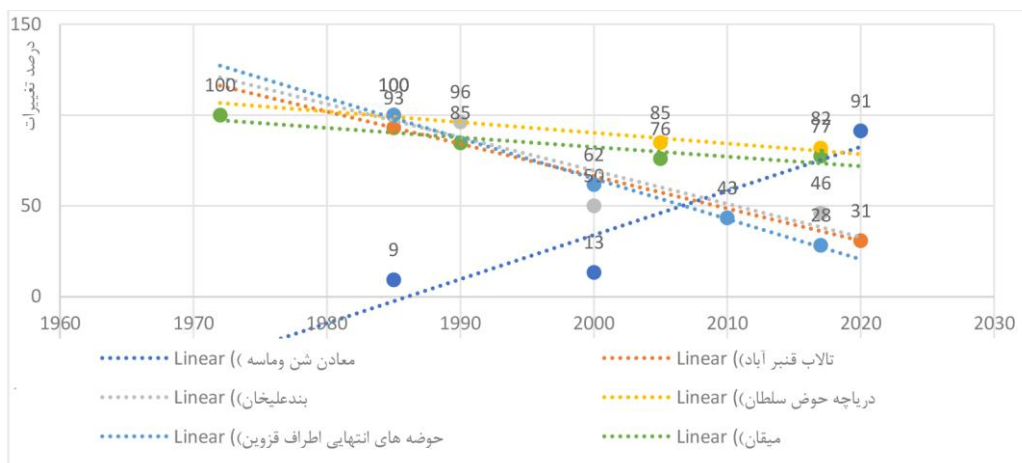
بيانگر وجود تشابهات تركيبيات شيمياي عناصر نمونه برداری شده از سطح معادن و نمونه گيري شده از سطح تهران بوده است. احتمالاً درصد زيادي از SIO₂ به دست آمده در تركيبيات شيمياي ريزگرد شهر تهران برگرفته از معادن شن و ماسه تهران شهریار (تراس های آبرفتی رودخانه کرج) می باشد زيرا جريان های ريزگرد آور از روی اين معادن عبور می کنند. و همچنان تفاوت چشمگيری در مقدار سيليسیوم معادن و نمونه های تهران وجود دارد که می تواند ناشی جنس رسوبات تراس های آبرفتی رودخانه کرج باشد و همچنان نمونه های شهر تهران ممکن است از اين منبع باشد. با توجه به خشك شدن تدریجي تالاب قنبر آباد و تالاب بند علیخان، اراضی زيادي جهت تغذيه بادهای عبوری آمده می شود. میزان شباht تركيبات اين دو تالاب با ميانگين نمونه های شهر تهران حاکی از میزان زيادي از تركيبات سيليس و الومينيوم و سديم در هر دو نمونه است. پلاياتي حوض سلطان و ميقات از پتانسيل تشدید جريان های ريزگرد برخوردار است مقاييسه ميانگين تركيبات دو محدوده پلاياتي حوض سلطان و تهران نشان از وجود تركيبات پتانسيم و سديم و همچنان كلر مشابه دارد که احتمالاً برخی از تركيبات عناصر سديم و كلر و پتانسيم وارد شده

نتيجه گيري

يافته های حاصله از الگوهای اصلی ورود ريزگرد به تهران، ۵ الگوی اصلی را نشان داد که عمدتاً از خارج از کشور وارد ايران می شوند. الگوهایی که در فصل گرم به تهران می آیند عمدتاً از شمال شرق سوریه و کشور عراق منشاء می گيرند. اين جريان ها از نواحی کم ارتفاع زاگرس عبور می کنند و در مسیر نواحی خشك و بیابان های اطراف قزوین و معادن شن و ماسه بار رسوبی خود را افزایش می دهند. جريان های مربوط به اوخر زمستان و اوایل بهار از صحاري عربستان وارد فلات مرکزی ايران می شوند و با عبور از لندرفم هایي مانند چاله ميقان و اراضی شور اطراف درياچه حوض سلطان و درياچه قنبر آباد و تالاب بند علیخان تغذيه می شوند. جريان هایی که محور آن بيشتر غربی شرقی است و منطبق با جريان های غربی هستند، پس از تشکيل در شرق آفریقا و روی عربستان سعودی به عراق و ايران حرکت می نمايند و هنگام عبور از برخی سطوح پست از قبيل درياچه ها و پلاياتها و برخی چاله های داخلی مجدداً تغذيه می شوند. نتایج پژوهش اخير بيانگر نقش لندرفم های حوضه های انتهایي از جمله پلاياتها و درياچه های خشك شده و سطوح رسوبی در الگوی ريزگردهای ورودی به تهران می باشد. نتایج حاصله از نمونه برداری و تحليل آزمایشگاهی

پوشش گیاهی و کاهش سطوح دریاچه‌ای شده است این تغییرات متعاقبا باعث فراهم شدن اراضی می‌گردد که سرشار از مواد ریزدانه و مستعد برای تغذیه ریزگردها می‌گرددند. بررسی تغییرات محیط در مناطق منشاء ریزگرد موید این بود که برخی از مناطق اخیر درگیر تغییرات محیطی طی سال‌های ۱۹۷۰-۲۰۲۰ بودند. شکل ۲۰ نمودار تغییرات را نشان می‌دهد. شبیب تغییرات محیط در همه محدوده‌ها یکسان نیست، در برخی از محدوده‌ها مثل معادن شن و ماسه شهریار سرعت دستکاری محیطی توسط عوامل انسانی باعث ایجاد شبیب تند در نمودار شده است. همچنین بیابان‌های اطراف قزوین با ایجاد هسته‌های تراکمی ریزگرد بیشترین اثر را بر تغذیه ریزگردها را دارند.

به شهر تهران ممکن است حین عبور از اراضی ریزدانه و منفصل اطراف این دو پلایا برداشت شده است. حوضه‌های بیابانی اطراف قزوین به دلیل اینکه در مسیر بادهای غالب ورودی به شهر تهران قرار گرفته است از لحاظ تامین دانه‌های ریزگرد برای بادهای غربی و جنوب غربی ورودی به تهران نقش مهمی دارد به همین جهت حضور زمین‌های عاری از پوشش گیاهی نقش مهمی در ایجاد کانون ریزگرد داخلی برای شهر تهران را ایفا نموده است. در مناطق دشت قزوین دارای حضور پرنگ اکسید آلومینیم و گوگرد بیش از سایر عناصر است. به‌طور کلی نتایج تغییرات محیطی در محدوده‌های مورد بررسی حاکی از دستکاری و سیاست‌های غلط بهره‌برداری از منابع است که تغییرات شدید در



شکل ۲۰: روند تغییرات حوضه‌های انتهایی اطراف تهران طی سالیان ۱۹۷۰ الی ۲۰۲۰

پانوشت

- 1-Google Earth Engine (GEE)
- 2-Backward
- 3-<https://search.earthdata.nasa.gov>,
- <https://ladsweb.modaps.eosdis.nasa.gov>

- 4-Aerosol Optical Depth (AOD)
- 5-detection

استفاده از پردازش تصاویر ماهواره‌ای، مجله پژوهش و سازندگی در منابع طبیعی، شماره ۶۷، ص ۲۵-۳۳.

منابع

- ایرانمنش، ف.، عرب خدری، م. و اکرم، م.، ۱۳۸۴-
- بررسی مناطق برداشت ذرات گرد و غبار و ویژگی-های انتشار آن‌ها در طوفان‌های منطقه سیستان با

- صفوی، ی. و علیجانی، ب.، ۱۳۸۵. بررسی عوامل جغرافیایی در آلودگی هوای تهران، پژوهش‌های جغرافیایی، دوره ۳۸، شماره ۵۸، ص ۹۹-۱۱۲.
- قهروندی تالی، م.، ۱۳۹۱. پلایاهای تشدید کننده ریزگردها، اولین همایش انجمن ایرانی ژئومورفولوژی، اسفند ۱۳۹۱.
- کارگر، ا.، بداق جمالی، ج.، رنجبر سعادت آبادی، ع.، معین الدینی، م. و گشتاسب، ح.، ۱۳۹۵. شبیه‌سازی و تحلیل عددی طوفان گرد و غبار شدید شرق ایران، تحلیل فضایی مخاطرات محیطی، شماره ۴(۳)، ص ۱۰۱-۱۱۹.
- لشکری، ح. و کیخسروی، ق.، ۱۳۸۷. تحلیل آماری سینوپتیکی طوفان‌های گرد و غبار استان خراسان رضوی در فاصله زمانی ۱۹۹۳-۲۰۰۵، پژوهش‌های جغرافیای طبیعی، شماره ۶۵، ص ۱۷-۳۳.
- محمدپور پنجاه، م.ر.، معماریان، م.ح. و میرکنی، م.، ۱۳۹۳. تحلیل طوفان‌های گرد و غبار استان یزد بر مبنای مدل‌سازی عددی جغرافیا و مخاطرات محیطی، شماره ۱۲، ص ۶۷-۹۳.
- محمدی، م. و حسین زاده، ر.، ۱۳۹۴. پایش ماهواره‌ای و تحلیل همدید پدیده گرد و غبار در کلان شهر مشهد طی دوره ۲۰۰۹-۲۰۱۳، مجله جغرافیا و مخاطرات محیطی، شماره ۱۴، ص ۳۵-۵۷.
- مرکز آمار ایران، ۱۳۹۵. گزیده نتایج سرشماری عمومی نفوس و مسکن.
- مفیدی، ع. و جعفری، س.، ۱۳۹۰. بررسی نقش گردش منطقه‌ای جو بر روی خاورمیانه در وقوع طوفان‌های گرد و غباری تابستانه در جنوب غربی ایران، مجله مطالعات جغرافیایی مناطق خشک، سال ۲، ص ۱۷-۴۵.
- ناصرپور، س.، علیجانی، ب. و ضیائیان، پ.، ۱۳۹۴. منشأیابی طوفان‌های گرد و غبار در جنوب غرب بیات، ر.، جعفری، س.، قرمز چشم، ب. و چرخابی، ا.، ۱۳۹۵. مطالعه تاثیر ریزگردها بر تغییرات پوشش گیاهی (مطالعه موردی: تالاب شادگان، خوزستان)، سنجش از دور و سامانه اطلاعات جغرافیایی در منابع طبیعی (کاربرد سنجش از دور و GIS در علوم منابع طبیعی)، شماره ۷(۲)، ص ۱۷-۳۲.
- بهرامی، ح.، جلالی، م.، درویشی بلورانی، ع. و عزیزی، ع.، ۱۳۹۲. مدل‌سازی مکانی-زمانی وقوع طوفان‌های گرد و غبار در استان خوزستان، سنجش از دور و GIS ایران، شماره ۲، سال ۵، ص ۹۵-۱۱۴.
- رسولی، ع.ا.، ساری صراف، ب. و محمدی، غ.، ۱۳۸۹. تحلیل روند وقوع پدیده اقلیمی گرد و غبار در غرب کشور در ۵۵ سال اخیر با استفاده از روش-های آمارهای ناپارامتری، جغرافیای طبیعی، سال ۳، شماره ۹، ص ۲۸-۴۱.
- ریوندی، ا.، میرکنی، م.، محمدپور پنجاه، م.، معماریان، م. و محمدیها، ا.، ۱۳۸۹. بررسی و تحلیل سینوپتیکی تشکیل و انتشار طوفان‌های گرد و خاک ورودی از غرب ایران با استفاده از پارامترها و نقشه‌های هواشناسی، دومین همایش ملی فرسایش بادی و طوفان‌های گرد و غبار، دانشگاه یزد.
- رئیس پور، ک.، ۱۳۸۷. تحلیل آماری و همدیدی پدیده گرد و غبار در استان خوزستان، پایان‌نامه کارشناسی ارشد، دانشگاه سیستان و بلوچستان.
- سلیقه، م.، ۱۳۹۴. تغییر آب و هوا و مخاطرات آب و هوایی تهران، تحلیل فضایی مخاطرات محیطی، سال ۲، شماره ۳، ص ۱۵-۳۲.
- سلیمانی، آ.، عسگری، م.ح.، دادالهی، ع.، علمی زاده، ه. و خزاعی، ح.، ۱۳۹۴. ارزیاب عمق ابتدیکی حاصل از تصاویر ماهواره modis در خلیج فارس، علوم و فنون دریایی، ص ۷۵-۸۴.
- شرکت کنترل کیفیت هوای تهران، گزارش کیفیت هوای تهران، ۹۰-۱۳۹۰. مرکز چاپ نشر شهر.

-ندافی، ک.، یاراحمدی، م. و جعفرزاده، ن.، ۱۳۸۹
اثرات طوفان‌های گرد و غباری بر سلامت و محیط
زیست مجله علوم پزشکی خراسان شمالی، شماره
.۳۹-۲۴، ص ۳۳

ایران با استفاده از تصاویر ماهواره‌ای و نقشه‌های
هوای پژوهش‌های جغرافیای طبیعی، دوره ۴۷،
شماره ۱، ص ۴۵-۶۴.

- Al Sarraf, H., 2010. Relationship between the land/sea breeze circulations and the air pollution dispersion over the coastal area of Kuwait, Master of science thesis, Creighton University.
- Boloorani, A.D., Nabavi, S.O., Bahrami, H.A., Mirzapour, F., Kavosi, M., Abasi, E. and Azizi, R., 2014. Investigation of dust storms entering Western Iran using remotely sensed data and synoptic analysis: Journal of environmental health science & engineering, v. 12(1).
- Cao, H., Amiraslani, F., Liu, J. and Zhou, N., 2015. Identification of dust storm source areas in West Asia using multiple environmental datasets. Journal of Science of the Total Environment, p. 224-235.
- Draxler, R.R. and Hess, G.D., 1998. An Overview of the HYSPLIT_4 Modelling System for Trajectories, Dispersion on and Deposition: Australian Meteorological Magazine, v. 47, p. 295-308.
- El-Askary, H.M., Sarkar, S., Kafatos, M. and El-Ghazawi, T.A., 2003. A Multisensory Approach to Dust Storm Monitoring Over the Nile Delta, Published IEEE, v. 41(10).
- Ganor, E., 1975. Atmospheric dust in Israel: Sedimentological and meteorological analysis of dust deposition. Ph.D. Thesis, Dissertation the Hebrew University of Jerusalem.
- Goudie, A.S., 1983. Dust storms in space and time, Progress in Physical Geography: Earth and Environment, v. 7(4), p. 502-530.
- Goudie, A.S. and Middleton, N.J., 2006. Desert Dust in the Global System: Springer nature, 287 p.
- Goudie, A.S. and Middleton, N.J., 2005. Saharan dust storms: nature and consequences: Earth-Science, Reviews, v. 67, p. 219-315.
- Indoitu, R., Orlovsky, L. and Orlovsky, N., 2012. Dust storms in Central Asia: Spatial and temporal variations, Journal of Arid Environments, v. 85, p. 62-70. 10.1016/j.jaridenv.2012.03.018.
- Li, X., Ge, L., Dong, Y. and Chang, H.C., 2010. Estimating the greatest dust storm in eastern Australia with MODIS satellite images. International Geoscience and Remote Sensing Symposium (IGARSS), p. 1039-1042.
- Rashki, A., Eriksson, P.G., Rautenbach, C.J., Kaskaoutis, D.G., Grote, W. and Dykstra, J., 2013. Assessment of chemical and mineralogical characteristics of airborne dust in the Sistan region, Iran: Chemosphere, v. 90(2), p. 227-236.
- Rashki, A., Kaskaoutis, D.G., Gouide, A.S. and Kahn, R.A., 2013. Dryness of ephemeral lakes and consequences for dust activity: The case of the Hamoun drainage basin, Southeastern Iran. Journal of Science of the Total Environment, v. 163, p. 422-441.
- Savtchenko, A., Ouzounov, D., Ahmad, S., Acker, J., Leptoukh, G., Koziana, J. and Nickless, D., 2004. Terra and Aqua MODIS products available from NASA GES DAAC: Advances in Space Research, v. 34, p. 710-714.
- Wang, X., Zhibao, D., Caixia, Z., Guangqiang, Q. and Wanyin, I., 2009.

Characterization of the composition of dust fallout and identification of dust sources in arid and semiarid North China, Geomorphology, v. 112, p. 144-157

-Wang, Y., Stein, A., Draxler, R., Rosa, D. and Zhang, X., 2011. Global sand and dust storms in 2008: Observation and HYSPLIT model verification: Atmospheric Environment, v. 45(35), p. 6381-6389.

-Xuan, J., Sokolik, I.N., Hao, J., Guo, F., Mao, H. and Yang, G., 2004. Identification and characterization of atmospheric mineral dust in East Asia: Journal of Atmospheric Environments, v. 38(36), p. 6239-6252.

-Zhang, B., Tsunekawa, A. and Tsubo, M., 2015. Identification of Dust Hot Spots from Multi-Resolution Remotely Sensed Data in Eastern China and Mongolia. Water, Air, & Soil Pollution.